

به نام خدا



دانشگاه تهران

پردیس دانشکده‌های فنی

دانشکده مهندسی برق و کامپیوتر

سیستم‌های کنترل پیشرفته

پروژه : سیستم گوی و میله

فاز اول

نورا زارعی - ۸۱۰۱۹۹۴۳۳

ثمر نیک فرجاد - ۸۱۰۱۹۹۵۰۸

## فهرست

عنوان	شماره صفحه
چکیده	۳
خواسته ۱	۴
خواسته ۲	۶
خواسته ۳	۷
خواسته ۴	۸
خواسته ۵	۱۰
خواسته ۶	۱۱
خواسته ۷	۱۲
خواسته ۸	۱۴

## چکیده

در فاز اول پروژه قصد داریم ابتدا معادلات حالت سیستم را بدست آوریم و سپس آنها را خطی سازی کنیم و ویژگی های سیستم همچون پایداری در نقطه تعادل، کنترل پذیری و رویت پذیری و مینیمال بودن فضای حالت سیستم را بررسی کنیم. در نهایت تلاش میکنیم سیستم را با کنترلر PID کنترل کنیم.

- لازم به ذکر است که برای خوانایی بیشتر کدها، فایل متلب مجددا مرتب و بخش بندی شده است. بنابراین برخی کامنت های فایل جدید در تصاویر گزارش مشخص نیستند.

۱.۱. با توجه به متغیرهای معرفی شده، متغیرهای لازم را به دست می آوریم :

$$\left(\frac{J_b}{r^2} + m\right) \ddot{x} + (mr^2 + J_b) \frac{1}{r} \ddot{\alpha} - m\dot{x}\dot{\alpha}^2 = mg\sin(\alpha)$$

$$(mx^2 + J_b + J_\omega) \ddot{\alpha} + (2m\dot{x}x + bl^2) \dot{\alpha} + Kl^2\alpha + (mr^2 + J_b) \frac{1}{r} \ddot{x} - mg\cos(\alpha) = u(t)l\cos(\alpha)$$

\*\*\*

$$\rightarrow \ddot{x} = \frac{mg\sin(\alpha) + m\dot{x}\dot{\alpha}^2 - (mr^2 + J_b) \frac{1}{r} \ddot{\alpha}}{\left(\frac{J_b}{r^2} + m\right)}$$

$$\ddot{\alpha} = \frac{u(t)l\cos(\alpha) + mg\cos(\alpha) - (mr^2 + J_b) \frac{1}{r} \ddot{x} - Kl^2\alpha - (2m\dot{x}x + bl^2) \dot{\alpha}}{(mx^2 + J_b + J_\omega)}$$

\*\*\*

$$\rightarrow \ddot{\alpha} = \frac{u(t)l\cos(\alpha) + mg\cos(\alpha) - rm\dot{x}\dot{\alpha}^2 - Kl^2\alpha - (2m\dot{x}x + bl^2) \dot{\alpha}}{(mx^2 + J_\omega - mr^2)}$$

$$\rightarrow \ddot{x} = \left(\frac{J_b}{r^2} + m\right) \left( mg\sin(\alpha) + m\dot{x}\dot{\alpha}^2 - (mr^2 + J_b) \frac{1}{r} \left( \frac{u(t)l\cos(\alpha) + mg\cos(\alpha) - rm\dot{x}\dot{\alpha}^2 - Kl^2\alpha - (2m\dot{x}x + bl^2) \dot{\alpha}}{(mx^2 + J_\omega - mr^2)} \right) \right)$$

پس برای معادلات حالت خواهیم داشت :

$$\dot{x}_1 = \dot{x}$$

$$\dot{x}_2 = \ddot{x} = \left(\frac{J_b}{r^2} + m\right) \left( mg\sin(x_3) + m\dot{x}_1\dot{x}_4^2 - (mr^2 + J_b) \frac{1}{r} \left( \frac{u(t)l\cos(x_3) + mg\cos(x_3) - \cancel{rm\dot{x}_1\dot{x}_4^2} - Kl^2x_3 - (2mx_2x_1 + bl^2) \dot{x}_4}{(mx^2 + J_\omega - mr^2)} \right) \right)$$

$$\dot{x}_3 = \dot{\alpha}$$

$$\dot{x}_4 = \ddot{\alpha} = \frac{u(t)l\cos(x_3) + mg\cos(x_3) - \cancel{rm\dot{x}_1\dot{x}_4^2} - Kl^2x_3 - (2mx_2x_1 + bl^2) \dot{x}_4}{(mx^2 + J_\omega - mr^2)}$$

$$y_1 = x_1$$

$$y_2 = x_3$$

این معادلات را توسط متلب نیز به صورت زیر بدست آوردیم :

```
syms u x1 x2 x_dot_2 x3 x4 x_dot_4
% Equations
eq1 = (Jb/r^2+m)*x_dot_2 + x_dot_4*(m*r^2+Jb)/r - m*x1*x4^2 == m*g*sin(x3);
eq2 = (m*x1^2+Jb+Jw)*x_dot_4 + (2*m*x2*x1 + b*l^2)*x4 + x3*K*l^2 + x_dot_2*(m*r^2 + Jb)/r - m*g*x1*cos(x3) == u*l*cos(x3);

eqns = [eq1, eq2];
S = solve([eq1, eq2],[x_dot_2 x_dot_4]);
S.x_dot_2

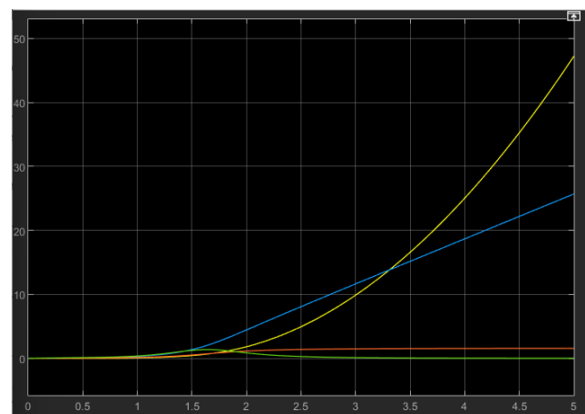
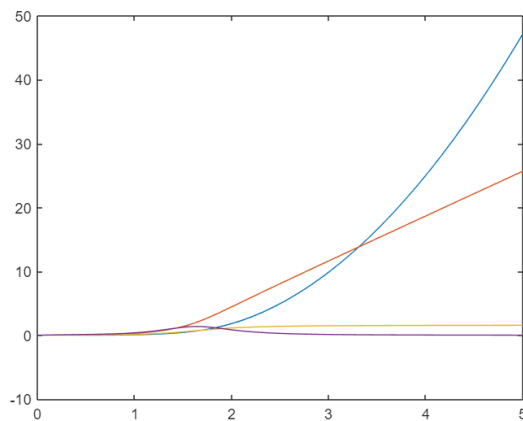
ans =
144115188075855872 (49806208990157893632000 x1^3 x4^2 + 4885989102803448936529920 sin(x3) x1^2 + 258795275568174886676900 x1 x4^2 + 27891477039448845000000 x2 x1 x4 - 13680769487849658
5 (20097927296267927998305562751438809989120 x1^2 + 1043171750797622209218164828981602658

S.x_dot_4

ans =
1152921504606846976 (9688575863963638562816 x3 + 9688575863963638562816000 x4 + 2137620232476509136328125 sin(x3) + 217902164370694101562500 x1 x4^2 - 197726038040074256384000
625 (20097927296267927998305562751438809989120 x1^2 + 1043171750797622209218164828981602658
```

شکل ۱ - پاسخ ساده شده معادلات حالت در متلب

۱.۲. نمودار متغیرهای حالت به دست آمده و فایل سیمولینک موجود را تست و بررسی کرده و هر دو را به ازای ورودی پله با اندازه ۰.۱ و شروع از لحظه ۰ و در زمان ۰ تا ۵ ثانیه رسم کردیم. همان طور که مشاهده می شود هر دو شبیه به هم هستند :



شکل ۲ - مقایسه ی خروجی حالات سیستم اصلی و سیستم استخراج شده

۲. خطی سازی حول نقطه مبدا براساس  $f(x_1, x_2, x_3, x_4, u)\{at\ ss\ point\} = f(0,0,0,0,0)$  انجام خواهد شد و طبق محاسباتی که مفصل تر در فایل متلب قابل مشاهده است داریم :

```
%% Linearization
format long
f2_linear_to_x1(x1,x2,x3,x4,u) = diff(S.x_dot_2,x1);
f2_linear_to_x2(x1,x2,x3,x4,u) = diff(S.x_dot_2,x2);
f2_linear_to_x3(x1,x2,x3,x4,u) = diff(S.x_dot_2,x3);
f2_linear_to_x4(x1,x2,x3,x4,u) = diff(S.x_dot_2,x4);
f4_linear_to_x1(x1,x2,x3,x4,u) = diff(S.x_dot_4,x1);
f4_linear_to_x2(x1,x2,x3,x4,u) = diff(S.x_dot_4,x2);
f4_linear_to_x3(x1,x2,x3,x4,u) = diff(S.x_dot_4,x3);
f4_linear_to_x4(x1,x2,x3,x4,u) = diff(S.x_dot_4,x4);
f2_linear_to_u(x1,x2,x3,x4,u) = diff(S.x_dot_2,u);
f4_linear_to_u(x1,x2,x3,x4,u) = diff(S.x_dot_4,u);
```

$$A = \begin{pmatrix} \frac{\partial f_1}{\partial x_1} & \frac{\partial f_1}{\partial x_2} & \frac{\partial f_1}{\partial x_3} & \frac{\partial f_1}{\partial x_4} \\ \frac{\partial f_2}{\partial x_1} & \frac{\partial f_2}{\partial x_2} & \frac{\partial f_2}{\partial x_3} & \frac{\partial f_2}{\partial x_4} \\ \frac{\partial f_3}{\partial x_1} & \frac{\partial f_3}{\partial x_2} & \frac{\partial f_3}{\partial x_3} & \frac{\partial f_3}{\partial x_4} \\ \frac{\partial f_4}{\partial x_1} & \frac{\partial f_4}{\partial x_2} & \frac{\partial f_4}{\partial x_3} & \frac{\partial f_4}{\partial x_4} \end{pmatrix} \{at\ ss\ point\} = \begin{pmatrix} 0 & 1 & 0 & 0 \\ -0.3780 & 0 & 7.0147 & 0.0342 \\ 0 & 0 & 0 & 1 \\ 18.9001 & 0 & -0.3797 & -1.7132 \end{pmatrix}$$

$$B = \begin{pmatrix} \frac{\partial f_1}{\partial u} \\ \frac{\partial f_2}{\partial u} \\ \frac{\partial f_3}{\partial u} \\ \frac{\partial f_4}{\partial u} \end{pmatrix} \{at\ ss\ point\} = \begin{pmatrix} 0 \\ -0.0699 \\ 0 \\ 3.4964 \end{pmatrix}$$

$$C = \begin{pmatrix} 1 & 0 & 0 & 0 \\ 0 & 0 & 1 & 0 \end{pmatrix}$$

$$D = \begin{pmatrix} 0 \\ 0 \end{pmatrix}$$

$$\dot{x} = Ax + Bu$$

$$y = Cx + D$$

۳. برای بررسی پایداری حول نقطه تعادل سیستم (در اینجا مبدا) مقادیر ویژه ماتریس  $A$  سیستم خطی را بدست می‌آوریم :

```
lambda = eig(A)
```

```
lambda = 4x1 complex  
 2.9896 + 0.0000i  
-3.8454 + 0.0000i  
-0.4288 + 3.3669i  
-0.4288 - 3.3669i
```

شکل ۳ - مقادیر ویژه ماتریس حالت

به دلیل داشتن مقدار ویژه‌ای با مقدار حقیقی مثبت متوجه می‌شویم که سیستم خطی ناپایدار است و در نتیجه سیستم اصلی نیز ناپایدار است.

## خواسته ۴

- کنترل پذیری:

ماتریس کنترل پذیری را به صورت زیر تشکیل داده و اگر رتبه کامل سطری باشد، سیستم کنترل پذیر خواهد بود.

$$C = (B \quad AB \quad A^2B \quad A^3B) = \begin{pmatrix} 0 & -0.0699 & 0.1198 & 24.3479 \\ -0.0699 & 0.1198 & 24.3479 & -41.8051 \\ 0 & 3.4965 & -5.9903 & 7.6137 \\ 3.4964 & -5.9903 & 7.6137 & -8.5053 \end{pmatrix}$$

```
c = [B,A*B,A^2*B,A^3*B]
```

```
c = 4x4
```

```

0      -0.0699   0.1198   24.3479
-0.0699  0.1198  24.3479  -41.8051
0      3.4965   -5.9903   7.6137
3.4965  -5.9903   7.6137  -8.5053

```

```
rank(c)
```

```
ans =
```

```
4
```

شکل ۴ - محاسبه رنک ماتریس کنترل پذیری

از آنجا که رنک ماتریس کنترل پذیری ۴ در ۴ ما کامل و برابر با ۴ است، یعنی سطرها مستقل خطی اند و در نتیجه سیستم کنترل پذیر است.

- رویت پذیری:

ماتریس رویت پذیری را به صورت زیر تشکیل داده و اگر رتبه کامل ستونی باشد، سیستم رویت پذیر خواهد بود.

$$O = \begin{pmatrix} C \\ CA \\ CA^2 \\ CA^3 \end{pmatrix} = \begin{pmatrix} 1 & 0 & 0 & 0 \\ 0 & 0 & 1 & 0 \\ 0 & 1 & 0 & 0 \\ 0 & 0 & 0 & 1 \\ -0.3780 & 0 & 7.0147 & 0.0343 \\ 18.9001 & 0 & -0.3797 & -1.7133 \\ 0.6476 & -0.3780 & -0.0130 & 6.9560 \\ -32.3809 & 18.9001 & 0.6506 & 2.5556 \end{pmatrix}$$

```
o = [C;C*A;C*A^2;C*A^3]
```

```
o = 8x4
```

```

1.0000   0      0      0
0      0      1.0000   0
0      1.0000   0      0
0      0      0      1.0000
-0.3780   0      7.0147   0.0343
18.9001   0     -0.3797  -1.7133
0.6476  -0.3780  -0.0130   6.9560
-32.3809 18.9001   0.6506   2.5556

```

```
rank(o)
```

```
ans =
```

```
4
```

شکل ۵ - محاسبه رنک ماتریس رویت پذیری



از آنجا که رنک ماتریس رویت پذیری ۸ در ۴ ما برابر با ۴ است، یعنی ستون‌ها مستقل خطی‌اند و در نتیجه سیستم رویت پذیر است.

- مینیمالیتی :

برای بررسی مینیمال بودن، دترمینان ماتریس  $A$  را محاسبه کرده و اگر غیر صفر بود سیستم مینیمال است.

```
det(A)
```

```
ans =
```

```
-1.324358100049542e+02
```

شکل ۶ - محاسبه دترمینان ماتریس حالت

مشاهده می‌کنیم که دترمینان مخالف صفر است و سیستم کنترل پذیر و رویت پذیر است پس حذف صفر و قطب نیز نداریم و در نتیجه سیستم خود مینیمال است.

## خواسته ۵

۵. برای بدست آوردن ماتریس انتقال حالت از روش فرم جردن کمک می گیریم و طبق محاسبات متلب داریم:

$$J = Q^{-1}AQ$$

$$e^{At} = Qe^{Jt}Q^{-1}$$

```
[Q,J] = eig(A)
```

```
Q = 4x4 complex
    0.1926 + 0.0000i   -0.1040 + 0.0000i   -0.0546 - 0.1400i   -0.0546 + 0.1400i
    0.5757 + 0.0000i    0.4000 + 0.0000i    0.4947 - 0.1239i    0.4947 + 0.1239i
    0.2521 + 0.0000i   -0.2292 + 0.0000i    0.0302 + 0.2375i    0.0302 - 0.2375i
    0.7536 + 0.0000i    0.8813 + 0.0000i   -0.8125 + 0.0000i   -0.8125 + 0.0000i

J = 4x4 complex
    2.9896 + 0.0000i    0.0000 + 0.0000i    0.0000 + 0.0000i    0.0000 + 0.0000i
    0.0000 + 0.0000i   -3.8454 + 0.0000i    0.0000 + 0.0000i    0.0000 + 0.0000i
    0.0000 + 0.0000i    0.0000 + 0.0000i   -0.4288 + 3.3669i    0.0000 + 0.0000i
    0.0000 + 0.0000i    0.0000 + 0.0000i    0.0000 + 0.0000i   -0.4288 - 3.3669i
```

```
e_At = Q*[exp(0.1926),0,0,0;exp(-3.8454),0,0,0;exp(-0.4288+3.3669i),0,0,0;exp(-0.4288-3.3669i)]*inv(Q)
```

```
e_At = 4x4 complex
    0.0006 - 0.0000i    0.1121 - 0.0000i    0.4665 + 0.0000i    0.0680 - 0.0000i
    1.2424 - 0.0000i    0.0006 + 0.0000i    0.7606 + 0.0000i    0.3539 - 0.0000i
    0.9514 - 0.0000i    0.1785 + 0.0000i    0.0005 + 0.0000i    0.0259 - 0.0000i
    0.4212 - 0.0000i    0.9514 + 0.0000i    1.2423 + 0.0000i   -0.0376 + 0.0000i
```

شکل ۷- بدست آوردن فرم قطری، بردارهای ویژه و ماتریس انتقال حالت

تابع تبدیل را با استفاده از فرمول زیر به کمک متلب بدست می‌آوریم:

$$G(s) = C(sI - A)^{-1}B + D$$

### Part 6)

```
%% Transformation Function
G = tf(ss(A,B,C,D))

G =

From input to output...
      -0.06993 s^2 + 24.5
1:  -----
   s^4 + 1.713 s^3 + 0.7577 s^2 + 7.105e-15 s - 132.4

      3.496 s^2 - 1.941e-18 s - 2.913e-16
2:  -----
   s^4 + 1.713 s^3 + 0.7577 s^2 + 7.105e-15 s - 132.4

Continuous-time transfer function.
```

شکل ۸ – بدست آوردن تابع تبدیل خطی

که با ساده سازی و حذف ترم های کوچکتر از  $10^{-4}$  در صورتها داریم:

$$G = \left( \frac{\frac{-0.06993s^2 + 24.5}{s^4 + 1.713s^3 + 0.7577s^2 + 7.105(e-15)s - 132.4}}{3.496s^2} \right) \frac{3.496s^2}{s^4 + 1.713s^3 + 0.7577s^2 + 7.105(e-15)s - 132.4}$$

صفر و قطبهای ( و حتی بهره توابع تبدیل) سیستم نیز به صورت زیر خواهد بود :

```
%% System Zeros, Poles and Gain
G1_num = [0 0 -0.06993 0 24.5];
G2_num = [0 0 3.496 0 0];
G_dem = [1 1.713 0.7577 7.105e-15 -132.4];

[z1, p1, k1] = tf2zp(G1_num, G_dem)

z1 = 2x1
    18.717648098795699
   -18.717648098795703

p1 = 4x1 complex
   -3.845035030697139 + 0.000000000000000i
   -0.428698636214645 + 3.366719168838446i
   -0.428698636214645 - 3.366719168838446i
    2.989432303126429 + 0.000000000000000i

k1 =
   -0.069930000000000

[z2, p2, k2] = tf2zp(G2_num, G_dem)

z2 = 2x1
     0
     0

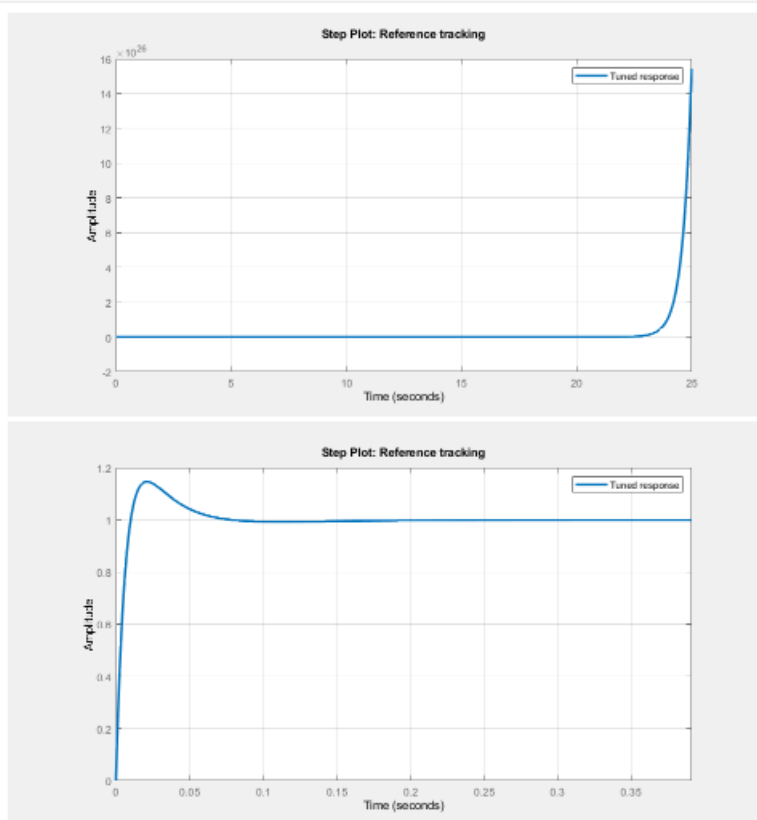
p2 = 4x1 complex
   -3.845035030697139 + 0.000000000000000i
   -0.428698636214645 + 3.366719168838446i
   -0.428698636214645 - 3.366719168838446i
    2.989432303126429 + 0.000000000000000i

k2 =
    3.496000000000000
```

شکل ۹ – بدست آوردن بهره و صفر و قطبهای سیستم خطی

با استفاده از ابزارهای متلب، پاسخ خروجی‌ها بعد از اضافه شدن کنترل‌کننده‌ها را مشاهده می‌کنیم.

```
pidTuner(G1_approximate,'PID')
pidTuner(G2_approximate,'PID')
```



شکل ۱۰ - پاسخ خروجی‌های سیستم پس از اعمال کنترل‌کننده‌های **tune** شده

همانطور که می‌بینیم، موقعیت دارای دامنه واگراست که به معنای ناپایداری سیستم است. در تصویر زیر اطلاعات کنترل‌کننده‌های **tune** شده مشخص است. همچنین آنطور در اطلاعات در مقابل بخش پایداری عدد صفر (به معنای عدم پایداری) آمده است. ضرایب کنترل‌کننده‌های PID طراحی‌شده‌ی متلب نیز مشخص شده است. پس در اینجا نتوانستیم سیستم خطی را با PID کنترل نماییم که به دلیل وجود قطب ناپایدار، طبیعی بود.

```
[C_PID_1_approximate,G1_approximate_info] = pidtune(G1_approximate,'PID')

Warning: Cannot keep loop gain above 1 at low frequency and below 1 at high frequency. Try adding integrators to the loop.
C_PID_1_approximate =

      1
Kp + K1 * --- + Kd * s
      s

with Kp = 0.093, K1 = 0.00258, Kd = 0.837
Continuous-time PID controller in parallel form.
G1_approximate_info = struct with fields:
    Stable: 0
CrossoverFrequency: 3.173606324483949
PhaseMargin: NaN

[C_PID_2_approximate,G2_approximate_info] = pidtune(G2_approximate,'PID')

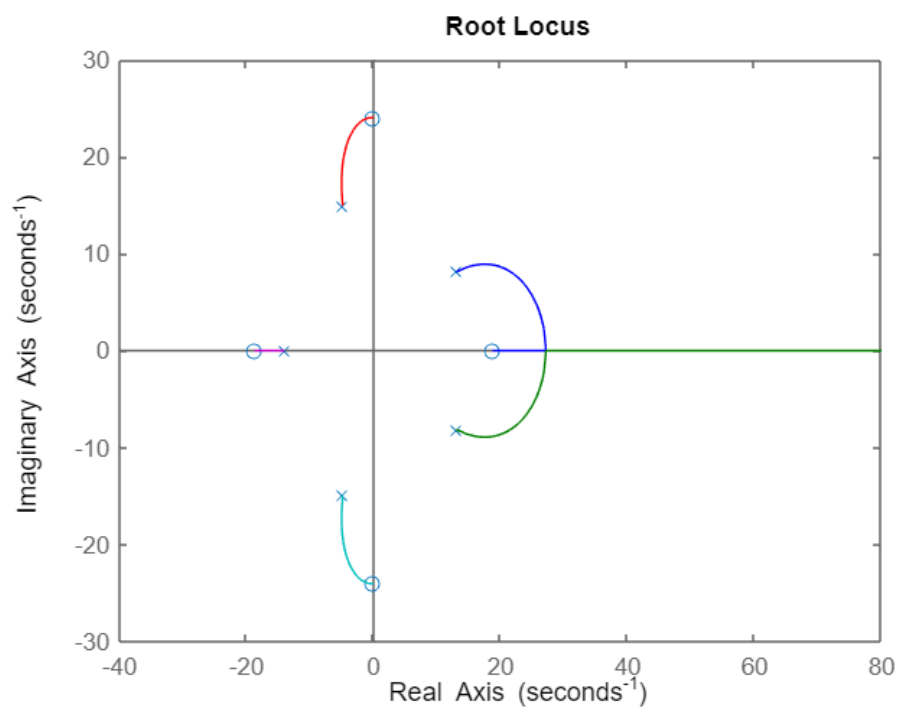
C_PID_2_approximate =

      1
Kp + K1 * --- + Kd * s
      s

with Kp = 2.77e+03, K1 = 3.33e+04, Kd = 57.7
Continuous-time PID controller in parallel form.
G2_approximate_info = struct with fields:
    Stable: 0
CrossoverFrequency: 2.045219704308076e+02
PhaseMargin: NaN
```

شکل ۱۱ - اطلاعات کنترل‌کننده‌های **tune** شده و وضعیت پایداری سیستم کنترل‌شده

مشاهده می شود که سیستم به ازای کنترل کننده PID قطب سمت راست محور موهومی دارد پس ناپایدار است. همچنین به ازای هیچ کنترلر PID طراحی شده سیستم پایدار نمی شود و همواره قطب سمت راست باقی می ماند:



شکل ۱۲ - مکان هندسی ریشه‌ها با کنترل کننده PID

ابتدا دو قطب ناپایدار که دارای قسمت حقیقی مثبت هستند را حذف می کنیم. طبق محاسبات در متلب، توابع تبدیل جدید را بدست می آوریم :

```
p1_improved = p1(1:3);
p2_improved = p2(1:3)
```

```
p2_improved = 3x1 complex
-3.845035030697139 + 0.000000000000000i
-0.428698636214645 + 3.366719168838446i
-0.428698636214645 - 3.366719168838446i
```

```
G1_improved = zpk(z1,p1_improved,k1)
```

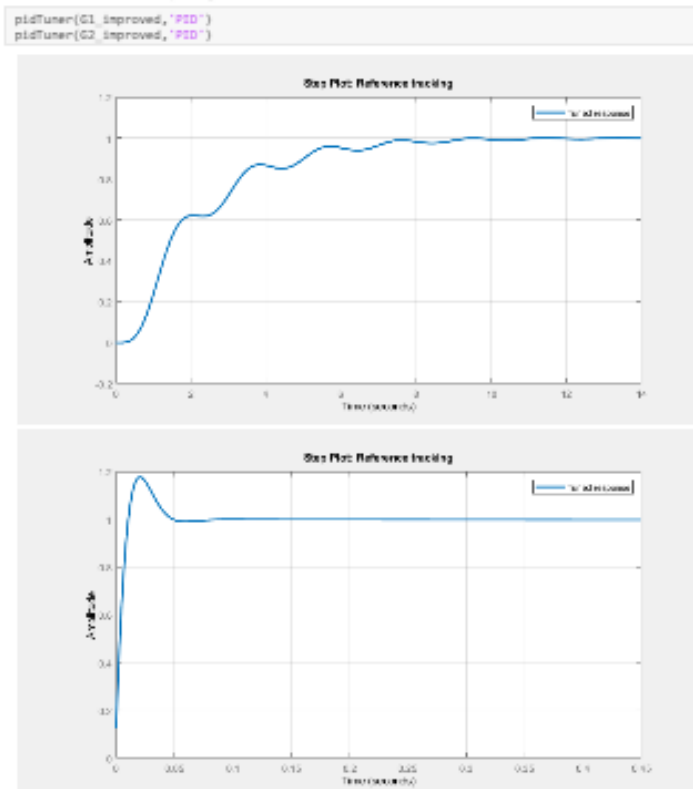
```
G1_improved =
-0.06993 (s-18.72) (s+18.72)
-----
(s+3.845) (s^2 + 0.8574s + 11.52)
Continuous-time zero/pole/gain model.
```

```
G2_improved = zpk(z2,p2_improved,k2)
```

```
G2_improved =
3.496 s^2
-----
(s+3.845) (s^2 + 0.8574s + 11.52)
Continuous-time zero/pole/gain model.
```

شکل ۱۳ - توابع تبدیل سیستم پس از حذف قطب ناپایدار

مجددا با استفاده از ابزارهای آماده‌ی متلب، یک کنترل کننده طراحی می کنیم و پاسخ خروجی را رسم می کنیم.



شکل ۱۴ - پاسخ خروجی‌های سیستم با حذف قطب ناپایدار پس از اعمال کنترل کننده‌های tune شده

در تصویر زیر اطلاعات کنترل کننده‌های tune شده مشخص است.

```
[C_PID_1_improved,G1_improved_info] = pidtune(G1_improved,'PID')

C_PID_1_improved =

      1
Ki * ----
      s

with Ki = 0.79

Continuous-time I-only controller.
G1_improved_info = struct with fields:
    Stable: 1
CrossoverFrequency: 0.441845787701501
PhaseMargin: 81.528516592362379

[C_PID_2_improved,G2_improved_info] = pidtune(G2_improved,'PID')

C_PID_2_improved =

      1
Kp + Ki * ---- + Kd * s
      s

with Kp = 48.4, Ki = 4.02e+03, Kd = 0.0401

Continuous-time PID controller in parallel form.
G2_improved_info = struct with fields:
    Stable: 1
CrossoverFrequency: 1.777615127234868e+02
PhaseMargin: 73.789642253631811
```

شکل ۱۴ – اطلاعات کنترل کننده‌های tune شده و وضعیت پایداری سیستم کنترل شده با حذف قطب ناپایدار

با توجه به سوالی که از یکی از دستیاران کردیم، هدف این فاز کنترل موقعیت است و لذا از اینجا به بعد ما بر روی کنترل خروجی موقعیت گوی تمرکز می‌کنیم. همانطور که می‌بینیم، بعد از حذف قطب و طراحی کنترل کننده، خروجی موقعیت گوی به مقدار نهایی همگرا شده و کنترل می‌شود. در قسمت اطلاعات نیز پایداری عدد یک را دارد. کنترل کننده‌ی طراحی شده شامل یک انتگرال گیر با ضریب ۰.۷۹ است.

با توجه به تابع تبدیل بدست آمده برای خروجی موقعیت پس از حذف قطب ناپایدار، یک تحقق خطی از آن را بدست می‌آوریم :

$$G1\_improved = \frac{-0.06993 (s-18.72) (s+18.72)}{(s+3.845) (s^2 + 0.8574s + 11.52)}$$

$$A = \begin{pmatrix} 0 & 1 & 0 \\ 0 & 0 & 1 \\ -44.2944 & -14.816703 & -4.7024 \end{pmatrix}$$

$$B = \begin{pmatrix} 0 \\ 0 \\ 1 \end{pmatrix}$$

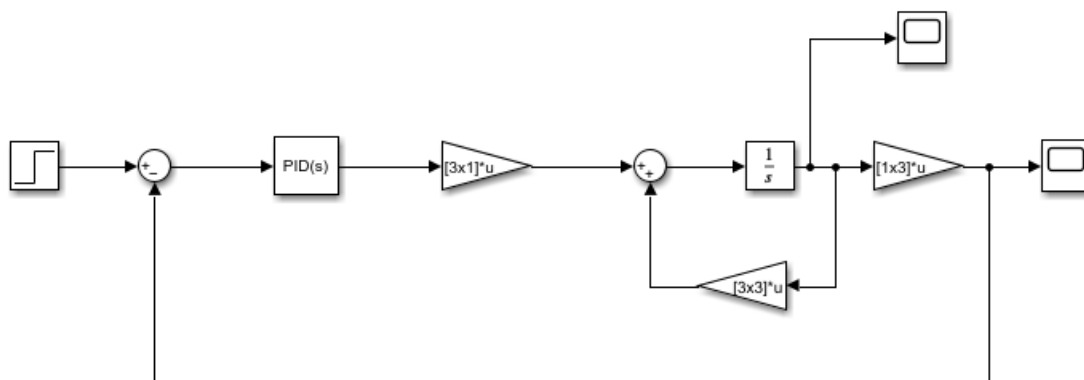
$$C = (24.506157312 \quad 0 \quad -0.069993)$$

$$D = 0$$

$$\dot{x} = Ax + Bu$$

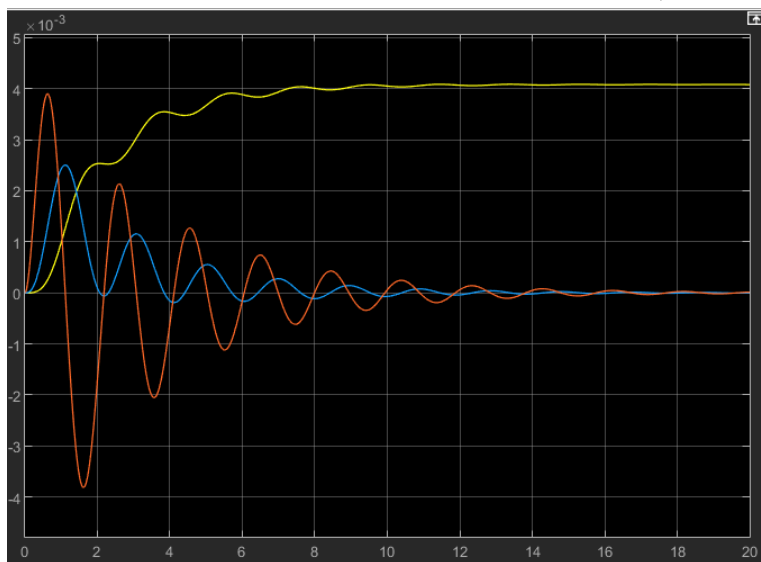
$$y = Cx + D$$

ما این تحقق را به صورت بلوکی در سیمولینک پیاده کرده و سپس ضرایب بدست آمده برای کنترل کننده را به آن اعمال کردیم که بلوک دیاگرام آن در شکل زیر قابل مشاهده است :



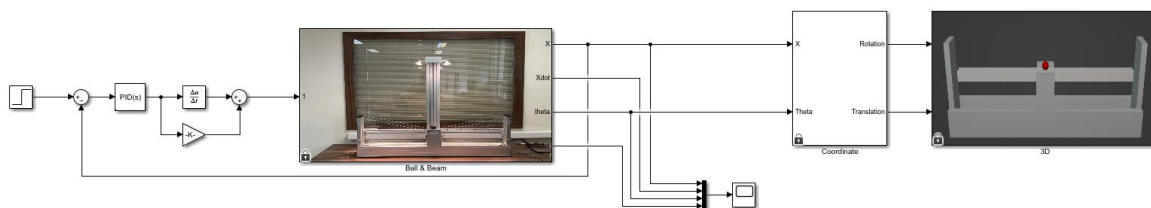
شکل ۱۶ - بلوک دیاگرام سیستم جبران شده خطی در سیمولینک

پاسخی که از متغیرهای حالت گرفتیم به شکل زیر بود :



شکل ۱۷ - پاسخ متغیرهای حالت سیستم جبران شده خطی در سیمولینک

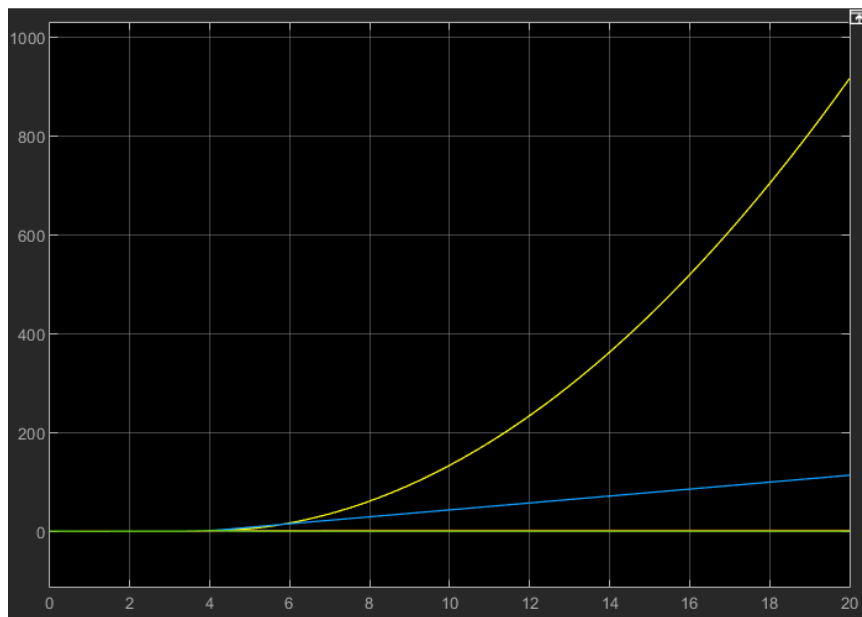
همانطور که می بینیم متغیرهای حالت همگی به مقداری همگرا شده و نوساناتشان نیز میرا شدند، که این به معنای پایداری سیستم می باشد. پس توانستیم سیستم خطی پس از حذف قطب را با استفاده از PID کنترل کنیم که انتظار آن را نیز داشتیم. همچنین در مورد سیستم غیرخطی نیز ما کنترل کننده را به آن اعمال کردیم و صفری در همانجا که قطب ناپایدار داشتیم ضرب کرده، که بلوک دیاگرام آن در زیر مشخص است :



شکل ۱۸ - بلوک دیاگرام سیستم جبران شده غیرخطی در سیمولینک



پاسخی که از متغیرهای حالت گرفتیم به شکل زیر بود :



شکل ۱۹ - پاسخ متغیرهای حالت سیستم جبران‌شده غیرخطی در سیمولینک

همانطور که می‌بینیم برخی از متغیرهای حالت واگرا می‌شوند، که این به معنای ناپایداری سیستم می‌باشد. پس در اینجا باز هم نتوانستیم سیستم غیرخطی پس از حذف قطب را با استفاده از PID کنترل کنیم. (به دلیل بالا بردن زمان شبیه‌سازی برای نمایش بهتر متغیرهای حالت سیستم جبران‌شده خطی، اینجا نمودار قرمز متغیر حالت چهارم به خوبی دیده نمی‌شود).

- کنترل پذیری:

ماتریس کنترل پذیری را به صورت زیر تشکیل داده و اگر رتبه کامل سطری باشد، سیستم کنترل پذیر خواهد بود.

$$C = (B \quad AB \quad A^2B) = \begin{pmatrix} 0 & 0 & 1 \\ 0 & 1 & -4.7024 \\ 1 & -4.7024 & 7.2959 \end{pmatrix}$$

```
c_improved = [B_improved, A_improved*B_improved, A_improved^2*B_improved]
```

```
c_improved = 3x3
           0           0           1.0000
           0           1.0000      -4.7024
           1.0000      -4.7024           7.2959
```

شکل ۲۰ - محاسبه رتبه ماتریس کنترل پذیری

از آنجا که رتبه ماتریس کنترل پذیری ۳ در ۳ ما کامل و برابر با ۳ است، یعنی سطرها مستقل خطی‌اند و در نتیجه سیستم کنترل پذیر است.

- رویت پذیری:

ماتریس رویت پذیری را به صورت زیر تشکیل داده و اگر رتبه کامل ستونی باشد، سیستم رویت پذیر خواهد بود.

$$O = \begin{pmatrix} C \\ CA \\ CA^2 \end{pmatrix} = \begin{pmatrix} 24.5062 & 0 & -0.0699 \\ 3.0834 & 25.5423 & 0.3288 \\ -14.4993 & -1.7889 & 23.9960 \end{pmatrix}$$

```
o_improved = [C_improved; C_improved*A_improved; C_improved*A_improved^2]
```

```
o_improved = 3x3
    24.5062         0    -0.0699
     3.0834    25.5423     0.3288
    -14.4993    -1.7889    23.9960
```

شکل ۲۱ - محاسبه رنک ماتریس رویت پذیری

از آنجا که رنک ماتریس رویت پذیری ۳ در ۳ ما کامل و برابر با ۳ است، یعنی ستون‌ها مستقل خطی‌اند و در نتیجه سیستم رویت پذیر است.